

航空燃气涡轮发动机 零件的弯曲振动

[苏联] К. А. 克留科夫、Д. В. 赫洛宁著



国防工业出版社

航空燃气渦輪发动机 零件的弯曲振动

〔苏联〕 K. A. 克留科夫、 Д. B. 赫洛宁著

施振东、 張 行譯



中國科學院

1964

目 录

序言	3
航空燃气涡輪发动机轉子和机匣的耦合	
弯曲振动	5
軸和盘的联合弯曲振动	74

序　　言

本文集包括两篇有关研究燃气渦輪发动机零件振动的論文。

在技术科学副博士、副教授 K. A. 克留科夫 (К. А. Крюков) 的論文中，研究了关于渦輪噴氣式发动机轉子和机匣耦合振动的非常重要的問題。

燃气渦輪发动机的临界轉速是不能在轉子的支座是絕對剛性的假定下来研究的。因为，实际上轉子支座是柔性的，同时还有轉子和机匣的耦合振动，这都严重地影响到临界轉速的数值。

本文是以前发表的克留科夫論文（莫斯科航空学院文集，第 55 册，国防工业出版社，1956）的发展。在本文中，与以前相同，采用了动力柔度法和列表計算法，并且引进了递推公式来計算发动机机匣和轉子的切力、弯矩、撓度和撓曲軸切綫傾角的大小。文中給出了推导和計算轉子和机匣耦合振动方程用的簡图，这些簡图可用来求得考虑机匣柔度时的临界轉速。

在技术科学副博士、副教授 Д. В. 赫洛宁 (Д. В. Хронина) 的論文中，研究了軸和盘的联合振动。通常在研究临界轉速时，盘被看作是絕對剛性的。实际上在軸的振动和进动中，要发生盘的弯曲振动。

必須注意到減輕航空发动机重量的要求，使压气机及渦輪的盘必須做得較薄。由于这些盘的振动，它对軸的作用远不像不变形的剛性盘那样，因此，不考虑盘的柔性的所有計

算方法，可能带来本质性的誤差。另一方面，在研究輪盤振动的論文中，这些振动是和軸分開來研究的，实际上，作为彈性体的輪盤，只可能与軸一起振动。

这样以来，不仅盤影响軸的振动，同时盤本身的振形与频率也与軸的振动有关。本文推导了盤和軸的弯曲振动方程式并給出了它們联合弯曲振动的計算方法。

作者利用了动力剛度方法，它显著地簡化了复合系統的計算。文中列出了軸——盤模型的實驗工作数据，并給出了两个計算例題。

本文集的論文对科研机关和設計单位工作人員以及有关专业的学生和研究生可能是有意义的。

Г. С. 斯庫巴切夫斯基

航空燃气渦輪发动机轉子和机匣的 耦合弯曲振动

K. A. 克留科夫

引　　言

不久以前，临界轉速通常还是在剛性支座的假設和不計机匣柔度的情况下求定的。这种計算，适宜于以往的固定式动力装置，而对于現代航空燃气渦輪发动机系統來說是不合适的。按照以往的研究方法所計算的結果，也就是根据剛性支座确定的临界轉速，通常与发动机試車时出現的临界轉速迥然不同。

要最大限度地減輕航空燃气渦輪发动机的重量，不仅有賴于減輕发动机轉子零件的重量，而且还要依靠減輕渦輪和压气机机匣的重量来實現。減輕机匣結構的重量，会使得航空渦輪发动机机匣的横向剛度变得等于甚至小于轉子的剛度。

在上述条件下，不能局限于孤立地探討位于剛性支座上的轉子振动，必須研究轉子和机匣的耦合振动，并且不仅要确定出基頻的，而且要确定高頻的共振状态，因为它们可能落入发动机的工作轉速范围内。

苏联学者納坦俊 (В. Я. Натанзон)⁽¹⁾，季繩特別尔格 (Ф. М. Диментберг)⁽²⁾，奥古列奇尼柯夫 (А. Н. Огуречников)⁽³⁾，古洛夫 (А. Ф. Гуров) 等的著作和報告，論述过航空燃气渦輪发动机轉子和机匣的联合振动問題。在国外的著

作中值得提到的有威尔逊 (T. S. Wilson)⁽⁸⁾ 及邓肯 (W. J. Duncan)⁽⁹⁾ 的著作。

本文研究燃气渦輪发动机轉子和机匣存在耦合振动时固有频率和共振轉数的計算問題。第一节介紹計算簡图的构成，第二节导出航空渦輪发动机轉子—机匣—悬挂系統的固有振动频率方程式。

应用动力柔度法，有可能将燃气渦輪发动机复合系統分为两个比較简单的复合系統：轉子和机匣。利用结构力学的方法，可以很簡單地建立諸支座处的变形協調方程式。

使这些方程組的行列式为零，就可以得到航空燃气渦輪发动机轉子—机匣系統的频率方程式。

第三节导出了确定系統中任意点的横向位移、切綫傾角、弯曲力矩和横向力諸量的递推公式，运用递推公式，有可能根据前一点諸量的数值，計算任意点諸量的数值。在本文中还研究了一个最简单的双支座轉子耦合振动的例子，并且在这个例子中建立了某些一般原理。最后一节論述确定轉子和机匣动力柔度的方法。

§1 計算簡图

在着手研究航空燃气渦輪发动机轉子—机匣—悬挂系統振动之前，必須用相当的計算簡图（图 1）来代替真实的系統。

今后本文采用的計算簡图，是由发动机軸或其机匣各彈性段相互約束的集中质量所組成的。这些段的质量，系分布在各邻近集中质量之間，或者，在某些場合下，把这些彈性段看作是具有分布参数（质量和彈性）的系統的元件。为了

获得最简单和最方便的分析計算簡图，應該使簡图中集中质量的个数是最少的，同时对于确定接近真实情况的頻譜而言，其个数又是足够的。按照上述观点，可以对燃气渦輪发动机

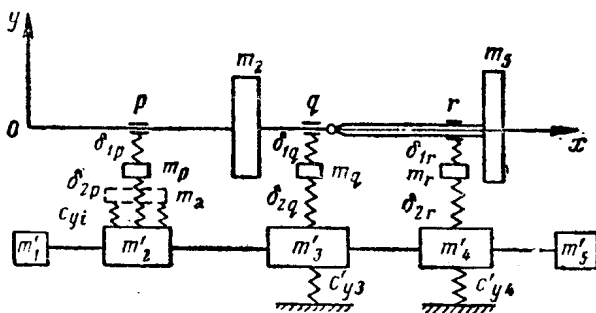


图1 三支座轉子燃气渦輪发动机系统的計算簡图：

m_2 和 m_5 —压气机轉子和渦輪轉子的质量； $m'_1, m'_2 \dots m'_5$ —各部分机匣质量； m_a —附件箱的质量； m_p, m_q, m_r —軸承座的质量； $\delta_{1p}, \delta_{1q}, \delta_{1r}$ —滚动轴承的柔度； $\delta_{2p}, \delta_{2q}, \delta_{2r}$ —各腹板、支柱和壳体的局部柔度所組成的总柔度。

的元件采用下述簡化方法。

在大多数場合下，对于近代燃气渦輪发动机的离心式压气机轉子，可用一个质量来代表。并且，对于軸流式压气机的盘鼓式轉子，也总是采用同样的簡图。如果压气机的轉子是由安装在軸上的一系列的单盘所組成，则應該采用多质量的計算簡图⁽³⁾。燃气渦輪的轉子，通常可用一个集中质量的系統来表示，这个集中质量位于具有分布质量的长軸的末端。

在某些情况下，当采用薄盘时，不能把它当作是絕對不变形的剛体。必須計及盘的柔度，并且将它視為具有分布參

數[●]的物体。

机匣的质量通常集中在通过轉子支座的截面处（参看图1）。机匣质量包括軸承座，附件及其傳动机构，压气机、渦輪、燒燃室部分壳体等等的质量。

进口扩压器和带有尾噴筒的延伸管，可按計算簡图（参看图1）的前部（左段）和后部（右段）分別用集中质量来代表。在进口扩压器采用短而輕的套管形式的場合下，可以近似地把它的质量附加到第一个支座下的质量上去，加到第一支座下的套管质量可按热托米尔斯基（B. K. Житомирский）推导的如下公式来确定：

$$m'_n = \frac{m_n}{\frac{\omega^2}{1 - \frac{\omega^2}{\omega_n^2}}}, \quad (1)$$

式中

$$\omega_n^2 = \frac{1}{0.3m_n\delta_n}, \quad (2)$$

m_n ——套管的质量；

δ_n ——套管的横向柔度，或者是由作用在套管（右端固定）左边自由端处的单位力所引起的撓度；

ω ——經過折算后的頻率。

在具有不可調節尾噴管的輕型排气管的情况下，对系统的右端（参看图1），同样可按公式（1）以附加到渦輪后支座下面的机匣上的某种质量，近似地代替系統中排气管的质量。当然，在公式（1）和（2）中，这时必須以排气系統中相应的质量 m_n 和柔度 δ_n ，代替套管的质量 m_n 及其柔度 δ_n 。在公式（1）中，若

● 參看本文集中Д. B. 赫洛宁的著作。

$$\left. \begin{aligned} \text{比值} & \quad \frac{\omega^2}{\omega_{H_1}^2} \ll 1, \\ \text{则质量之值} & \quad m'_H \approx m_{H_0}. \end{aligned} \right\} \quad (3)$$

換言之，在短而輕的套管或者排气管具有很大横向剛度的場合，可以將系統這些段的质量，分別地附加到压气机前支座和渦輪后支座处的质量上去，而不会有大的誤差。机匣系統經過这些簡化后，在計算簡图中，就可用三个集中质量来代表了。

导向器和軸流式压气机机匣的重量，可按靜力学法則，近似地用两个在压气机前支座和后支座处的集中載荷代替。在需要較精确計算的場合下，压气机的机匣可以用等截面段代替，在該段上有沿其长度分布的导向器及压气机机匣的质量。燃燒室的质量，按靜力学法則，近似地分为两部分：一部分集中于压气机后支座处，而另一部分則在渦輪支座处，渦輪支座处包括有燃气收集器、渦輪導向器、承力复板、軸承座的重量以及尾噴管的部分重量。

現在來較詳細地研究一些附件或附件箱的质量。通常，附件是固定在发动机机匣靠近前支座或中支座处。在一般計算簡图上，附件质量 m_{a_i} 以彈性固定的方式連接到机匣的第 i 个质量上去，該彈性固定在簡图上用彈簧来代替，沿着 Oy 軸的方向彈簧具有剛度 c_{yi} ，相應于 Oz 軸線方向則为 c_{zi} 。我們來研究质量 m_{a_i} 沿 Oy 軸的振动。設机匣的第 i 个质量按以下規律振动：

$$y_i = A_i \cos \omega t. \quad (4)$$

根据牛頓第二定律，质量 m_{a_i} 沿 Oy 軸方向的运动方程式为

$$\ddot{y}m_{a_i} = -c_{yi}(y - y_i). \quad (5)$$

质量 m_{ai} 的强迫运动表达式应为

$$y = A \cos \omega t_0 \quad (6)$$

将此表达式以及方程式(4)代入式(5), 求得

$$A = \frac{A_i}{1 - \frac{\omega^2}{\omega_{ai}^2}}, \quad (7)$$

此处

$$\omega_{ai} = \sqrt{\frac{c_{yi}}{m_{ai}}}.$$

通过弹性固定传到机匣上的力与作用在质量 m_{ai} 上的力, 大小相等方向相反。根据方程式(5), 该力为

$$Y_{ai} = c_{yi}(y - y_{ai}) = -m_{ai}\ddot{y}, \quad (7, a)$$

或者, 按式(4)和(7), 则为

$$Y_{ai} = \frac{m_{ai}\omega^2}{1 - \frac{\omega^2}{\omega_{ai}^2}} A_i \cos \omega t_0$$

采用

$$m'_{ai} = \frac{m_{ai}}{1 - \frac{\omega^2}{\omega_{ai}^2}}, \quad (8)$$

记号后得到

$$Y_{ai} = m'_{ai}\omega^2 A_i \cos \omega t_0. \quad (9)$$

在时间为

$$t_{1n} = \frac{2\pi n}{\omega} \quad n = 0, 1, 2, 3, \dots$$

时, 附件的惯性力, 按公式(9)可具有自己的最大值如下:

$$Y_{ai} = m'_{ai}\omega^2 A_i. \quad (10)$$

由此表达式得出: 当弹性固定的附件箱振动时, 传至机匣上

的力正好代表附件折合质量的惯性力，該附件折合质量附加在安装附件箱的机匣质量上（参看图1）。

研究附件质量沿 Oz 軸綫方向的振动以后，可以认为

$$\left. \begin{array}{l} z_i = B_i \sin \omega t, \\ z = B \sin \omega t, \end{array} \right\} \quad (11)$$

和沿 Oy 軸振动的情况一样进行处理后，我們求得

$$\left. \begin{array}{l} Z_{ai} = m''_{ai} \omega^2 B_i; \\ m''_{ai} = \frac{m_{ai}}{1 - \frac{\omega^2}{\omega_{ai}^2}} \end{array} \right\} \quad (12)$$

和

$$\omega'_{ai} = \frac{c_{zi}}{m_{ai}}.$$

根据表达式(8)和(12)，我們察覺，折合质量的大小随振动頻率 ω 的改变而变化。如果

$$\left. \begin{array}{l} \frac{\omega^2}{\omega_{ai}^2} \ll 1, \\ m'_{ai} \approx m_{ai}, \end{array} \right\} \quad (13)$$

則

当下面两条件之一存在时，上面的关系是正确的，

$$\left. \begin{array}{l} \omega \rightarrow 0, \\ \omega_{ai} \gg \omega. \end{array} \right\} \quad (14)$$

根据公式(7)，当将附件固定到机匣上的零件具有很大的剛性时，后一不等式是存在的。

如果

$$\left. \begin{array}{l} \omega = \omega_{a,i}, \\ m_{a,i} = \infty, \end{array} \right\} \quad (15)$$

則

在这种情况下，机匣上固定附件处形成了振动节点。此时，弹性安装的附件箱起了和动力减震器⁽⁶⁾一样的作用。

当

$$\left. \begin{array}{l} \frac{\omega^2}{\omega_{a,i}^2} \rightarrow \infty, \\ m'_{a,i} \rightarrow 0. \end{array} \right\} \quad (16)$$

則

然而，由附件方面传到机匣上的力并不趋于零，根据表达式(7)和(7,a)，此力可用以下公式确定

$$\left. \begin{array}{l} Y_{a,i} = C_{y,i} A_i, \\ Z_{a,i} = c_{z,i} B_{i0} \end{array} \right\} \quad (17)$$

及

在图1上用符号 m_p 、 m_q 和 m_r 表示的轴承座质量，和附件质量一样，可以折合成相应的机匣基本质量。轴承座折合质量的大小为

$$m_{ki} = \frac{m_i}{1 - \frac{\omega^2}{\omega_{ki}^2}}, \quad (18)$$

式中

$$\omega_{ki}^2 = \frac{1}{m_i \delta_{2i}}$$

和

$$i = p; q; r;$$

δ_{2i} ——轴承座、腹板、支柱以及壳体等零件的总柔度，

或者由单位徑向力引起的这些零件的总变形。

如果

$$\frac{\omega^2}{\omega_{ki}^2} \ll 1, \quad (19)$$

則

$$m_{ki} \approx m_i.$$

当然，上述确定集中折合质量大小的簡图总是近似的。严格說来，对于每一个自由振形，必須形成自己的計算簡图。但是，从实际意义說来，利用引入在图 1 和图 2 上的計算簡图就足够精确了，

因为这样确定出来的燃
气渦輪发动机轉子——
机匣——悬挂架系統的
联合振动固有頻率和實
驗結果几乎趋于一致。
对于計算所必要的横向
的、角向的以及混合的
柔度数值，可按下面第
3 节中导出的公式決
定。

應該指出，由于在軸的直徑突然改变处及轉子和机匣用非剛性安装邊連結等处有局部柔度，所以，在某些場合 下，彈性柔度的計算值低于它的真实值。

由于計算不完善，系統的某些元件如机匣、軸承座、支柱、腹板等等，它們的柔度必須用靜力試驗方法通过實驗求得。在图 1 上用符号 δ_{1p} ， δ_{1q} 和 δ_1 表示的滾珠和滾棒 軸承

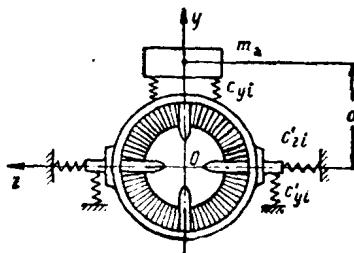


图 2 发动机的橫剖面图：
 c_yl —沿 Oy 軸方向的減震器剛度；
 c'_yl —沿 Oz 軸方向的減震器剛度。

的柔度，可以按有关参考书●中导出的公式确定，以及用实验方法确定。在图1上用符号 δ_{2p} 、 δ_{2q} 和 δ_{2r} 表示的支座零件（腹板、支柱和壳体）的总刚度，用静力试验方法确定。以下所叙述的计算方法，容许采用系统元件无论是计算的或者是实验的柔度值。

在振动时集中质量的回转惯性和振动时由旋转质量引起的陀螺力矩均需考虑。由于分布质量引起的回转惯性和陀螺力矩都不很大，所以不必考虑它。

§2 转子和机匣耦合振动的频率方程式

研究表达式(8)和(12)，我们看出：由于固定附件箱的零件沿 Oy 和 Oz 轴线方向的刚性不均匀性，相应的折合质量是不同的。此外，质量 m_a （如图2所示）的重心位于 Oy 轴上并对 Oz 轴具有大小为 a 的偏距。上述固定附件箱的不均匀刚性是机匣系统对纵轴不对称的原因之一。

发动机的悬挂在 Oy 和 Oz 轴线方向的刚性不均匀性是机匣轴向不对称的另一个原因。在某些情况下，由于可拆式压气机机匣具有纵向安装边，当弯曲时，在 xOy 和 xOz 平面中，机匣横向的、角向的和混合的柔度的不均匀性是机匣轴向不对称的原因。

由于系统的轴向不对称性，在 Oy 和 Oz 轴线方向的横向振动是不同的。系统中任意点的运动，可以表为互相垂直的两个谐振的总和，其相位差为 $\pi/2$ 。例如，任何一个集中质量的重心坐标都可用下式确定：

● 例如，Р. Д. Бейзельман和Б. В. Цапкин的著作[1]。

$$y_i = A_i \cos \omega t; \quad (20)$$

$$z_i = B_i \sin \omega t.$$

第 i 个质量的重心沿着椭圆轨迹移动，椭圆的两个半轴分别等于 Oy 和 Oz 轴线方向的横向振幅 A_i 和 B_i 。在我们所研究的场合中，每一个质量的位置取决于四个坐标。第 i 个质量的位置，除了取决于按公式 (20) 计算的线性变位之外，还需要用弹性线上对应坐标轴的切线投影角来确定⁽³⁾：

$$\left. \begin{aligned} \vartheta_{zi} &= \vartheta_i \cos \omega t; \\ \vartheta_{yi} &= \psi_i \sin \omega t. \end{aligned} \right\} \quad (21)$$

作用在轴或机匣上由非对称系统集中质量而来的力和力矩为

$$\left. \begin{aligned} -P_{yi} &= m_i \omega^2 A_i \cos \omega t; \\ -P_{zi} &= m_i \omega^2 B_i \sin \omega t; \\ -M_{yi} &= -J_{si} \omega^2 \psi_i \sin \omega t + J_{pi} \omega \omega_x \vartheta_i \sin \omega t; \\ -M_{zi} &= J_{si} \omega^2 \vartheta_i \cos \omega t - J_{pi} \omega \omega_x \psi_i \cos \omega t. \end{aligned} \right\} \quad (22)$$

在这些表达式中：

ω —— 自由振动的圆频率，或者包含轴或机匣弹性线的平面之旋转角速度；

ω_x —— 发动机转子的角速度；

m_i —— 第 i 个集中质量；

J_{si} —— 第 i 个质量对通过重心的直径的转动惯量；

J_{pi} —— 第 i 个质量的极转动惯量。

当时时间为

$$t_{1n} = \frac{2n\pi}{\omega} \quad n = 0, 1, 2, 3 \dots \dots \quad (23)$$

时，包含弹性线的平面与坐标平面 xOy (参看图 1) 相重合，

此时在轉子或机匣上作用有由集中质量引起的力和力矩，按方程 (22)，它們是：

$$\left. \begin{aligned} -P_{xi} &= m_i \omega^2 A_i; \\ -M_{xi} &= J_{si} \omega^2 \vartheta_i - J_{pi} \omega \omega_n \psi_i; \\ P_{xi} = M_{xi} &= 0. \end{aligned} \right\} \quad (24)$$

在时间为

$$t_{2n} = \frac{\pi(4n+1)}{2\omega} \quad n = 0, 1, 2, 3 \dots \dots \quad (25)$$

时，彈性綫平面与座标平面 xOz (参看图 1 和图 2) 相重合，于是在轉子或机匣上作用着由集中质量而来的力和力矩：

$$\left. \begin{aligned} -P_{xi} &= m_i \omega^2 B_i; \\ -M_{xi} &= -J_{si} \omega^2 \psi_i + J_{pi} \omega \omega_n \vartheta_i; \\ P_{yi} = M_{xi} &= 0. \end{aligned} \right\} \quad (26)$$

由表达式 (24) 中的第二式可以看出，該式中代表陀螺力矩的第二項取决于在平面 xOz 中彈性綫的切綫傾角 ψ_i 的大小。

表达式 (26) 第二式的第二項取决于平面 xOy 中彈性綫的切綫傾角 ϑ_i 的大小。

用适当的方法，就能将在 xOy 和 xOz 平面中的振动相互耦合。由于附件的折合质量 m''_{si} 在 Cz 軸上的位移，不仅能产生單純的弯曲振动，而且产生弯曲-扭轉联合振动。当单独地研究所得的横向和扭轉振动頻率相差很大时，在此种場合下，就可以忽略横向和扭轉耦合振动，并且单独地来研究它們。以下我們只研究横向振动。

用动力柔度的方法来分析复合系统的联合振动最为简单。利用这个方法，可以将燃气渦輪发动机轉子一机匣一悬